

تهیه مشتق‌های بتاً‌امینوکتون‌ها با کاتالیست قابل بازیافت مس ثبیت‌شده بر $\text{Fe}_3\text{O}_4@\text{Sapogenin}$

مجید حیدرپور^۱، حسین انارکی اردکانی^{۲*}، ندا حسن‌زاده^۳ و آیه رعیت‌زاده^۴

۱. دانشجوی دکترا شیمی آلی، گروه شیمی، واحد اهواز، دانشگاه آزاد اسلامی، اهواز، ایران.
۲. استادیار شیمی آلی، گروه شیمی، واحد ماشهر، دانشگاه آزاد اسلامی، ماشهر، ایران.
۳. استادیار شیمی آلی، گروه شیمی، واحد اهواز، دانشگاه آزاد اسلامی، اهواز، ایران.
۴. استادیار شیمی آلی، گروه شیمی، واحد اهواز، دانشگاه آزاد اسلامی، اهواز، ایران.

دریافت: آبان ۹۹ بازنگری: آذر ۹۹ پذیرش: آذر ۹۹

 20.1001.1.17359937.1400.15.3.7.6

چکیده

در این مطالعه نانوچندسازه مغناطیسی جدید $\text{Fe}_3\text{O}_4@\text{Sapogenin/Cu(II)}$ بر پایه کیلایا ساپوچنین تهیه شد و ساختار کاتالیست تهیه شده با طیف‌سنجی فروسرخ تبدیل فوریه (FTIR)، مغناطیس‌سنجی نمونه ارتعاشی (VSM)، طیف‌شناسی تفکیک ابرزی (EDS)، پراش پرتو ایکس (XRD)، میکروسکوپ الکترونی عبوری با وضوح بالا (HR-TEM)، میکروسکوپ الکترونی پویشی (SEM)، جذب و واجدب نیتروژن (BET)، روش پلاسمای جفت‌شده القایی (ICP) و تجزیه وزن‌سنجی گرمایی (TGA) بررسی شد. از کاتالیست تهیه شده در تهیه سه جزیی تک ظرفی بتاً‌امینوکتون‌ها با مشتق‌های کتون و مشتق‌های بنزآلدهید و همچنین، مشتق‌های آنیلین در شرایط سازگار با محیط‌زیست استفاده شد. واکنش با مقادیر متفاوت کاتالیست در حلال‌های متفاوت تحت شرایط متفاوت ارزیابی شد. از مزیت‌های قبل ذکر واکنش مورد اشاره می‌توان به بازده بالای فراورده‌ها و کوتاه‌بودن زمان واکنش و همچنین، استفاده از حلال‌های دوستدار محیط‌زیست اشاره کرد. همچنین، نانوکاتالیست $\text{Fe}_3\text{O}_4@\text{Sapogenin/Cu(II)}$ افزون بر بازیابی آسان برای چندین مرتبه بدون کاهش فعالیت مورداستفاده دوباره قرار گرفت. همچنین، با این کاتالیست چندین فراورده جدید برای نخستین بار به دست آمد.

واژه‌های کلیدی: شیمی سبز، واکنش سه جزیی، کیلایا ساپوچنین، بتاً‌امینوکتون‌ها، مس کلرید

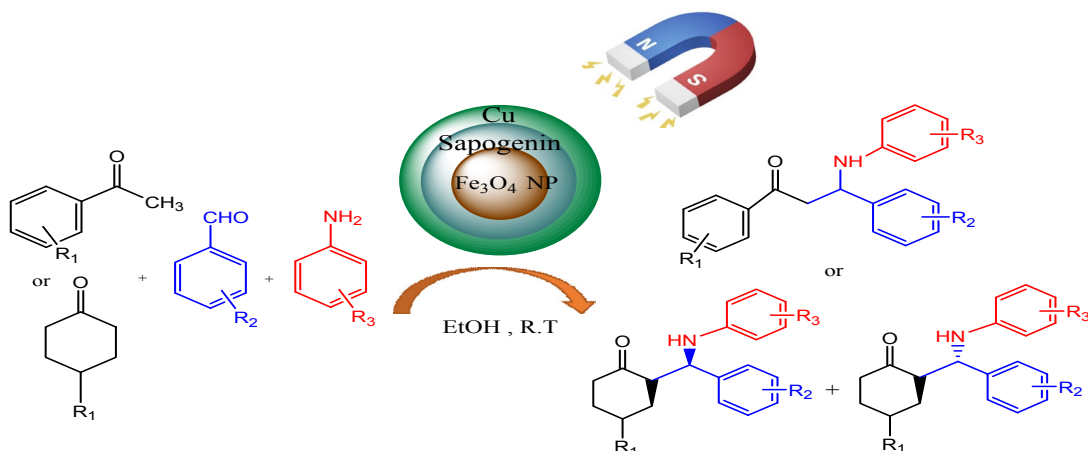
مقدمه

کربنی) و تری ترپنوفئیدی (۳۰ کربنی) گلیکوزیدهایی با وزن مولکولی بالا هستند که گروههای قندی متصل به آگلیکون تری ترپنوفئیدی یا استروئیدی دارند که در گیاهان تک لپهای و دو لپهای یافت می شوند [۸]. ساپوجنین ها به خاطر داشتن گروههای فراوان OH در بافت بسپاری خود می توانند به عنوان پوششی موثر برای پوشش نانوذره های آهن استفاده شوند [۹] و به عنوان کاتالیست در واکنش های چند جزئی (MCRs) به کار روند که در این واکنش ها بیش از دو ماده اولیه با یکدیگر واکنش داده و تشکیل یک فراورده واحد و پیچیده با هدف بهره بالای واکنش، جلوگیری از به هدر رفتن فراورده و زمان کوتاه واکنش را می دهند [۱۰ و ۱۱].

در این پژوهش، ابتدا نانوزیست کاتالیست $\text{Fe}_3\text{O}_4@\text{Sapogenin/Cu(II)}$ تهیه و به طور کامل با طیف سنجی فروسرخ تبدیل فوریه (FTIR)، مغناطیس سنجی (VSM)، طیف شناسی تفکیک انرژی (EDS)، پراش پرتو ایکس (XRD)، میکروسکوپ الکترونی عبوری با وضوح بالا (HR-TEM)، میکروسکوپ الکترونی پویشی (SEM)، جذب و واجدب نیتروژن (BET)، روش پلاسمای (TGA) جفت شده القایی (ICP) و تجزیه وزن سنجی گرمایی (TGA) بررسی و شناسایی شد. سپس، این نمونه به عنوان کاتالیست در واکنش سه جزئی بین کتون ها، آلدهیدها و آمین های متفاوت برای تهیه مشتق های ۱-او-۳-دی فنیل-۳-فنیل آمینو-پروپن-۱-اون در حلال اتانول و دمای 25°C مورد استفاده قرار گرفت (شکل ۱).

کاتالیست های ناهمگن که از موادآلی و معدنی ساخته شده اند، برای عملکرد بالا، کارکرد ساده، جداسازی آسان و قابلیت استفاده دوباره موردن توجه بسیاری از شیمیدانان آنی قرار گرفته اند. ولی بررسی ها نشان داده است که در واکنش های شیمیایی برای تهیه مواد با این کاتالیست ها جزء زیادی از آن ها در درون مواد حمل کننده و یا محافظت کننده قرار دارند و بنابراین، مواد واکنشگر برای انجام فعالیت شان دسترسی کاملی به آن ها ندارند، ولی با تغییر اندازه کاتالیست ها به نانو، سطح فعال آن ها بسیار افزایش یافته و به خوبی می توانند در حالت محلول به طور کامل پخش شده و شرایط همگنی را به وجود آورند.

امروزه نانوذره های مغناطیسی (MNPs) با عناصر مغناطیسی مانند آهن، نیکل، کبالت به خاطر خواص ویژه شان مانند تهیه راحت این مواد، عامل دار کردن آن ها با گروه های ویژه ای مانند NH_2 ، OH ، COOH ، مساحت سطح بالا، تماس بیشینه واکنشگرها با سطوح آن ها و جداسازی آسان با میدان مغناطیسی خارجی، کاربردهای متنوع در تهیه ترکیب های متفاوت شیمیایی، علوم داروئی، مواد غذایی و انرژی پیدا کرده اند [۱ تا ۴]. از بین این ترکیب ها نانو اکسید Fe_3O_4 به عنوان کاتالیست کاربرد بسیار زیادی در واکنش های شیمیایی دارد ولی به دلیل تمایل زیاد به کلوخه شدن و اکسید شدن، مشکل هایی را در واکنش ها ایجاد می کند. بنابراین، برای برطرف کردن این مشکل ها با موادی مانند سطح فعال ها، بسپارها، سیلیکا و کربن پوشش دهی می شوند [۵ تا ۷]. ساپوجنین های استروئیدی (۲۷



شکل ۱ تهیه مشتق های بتا آمینوکتون در حضور کاتالیست

مدت ۲ دقیقه با طلا ۱۰ mA برای تجزیه عنصری پوشش داده شدند. طیف های NMR با دستگاه ترکیبی -۳۰۰ MHz و دستگاه طیف سنج Bruker Avance MHz با حلal های DMSO و CDCl₃ بدست آمد.

روش تهیه nano-Fe₃O₄@Quillaja Sapogenin روش تهیه نانوذره های مغناطیسی آهن اکسید بربایه گزارش های قبلی ساخته شدن [۱۲ و ۱۳]. سپس مقدار ۲/۵ گرم کیلایا^۱ ساپوچنین با ۱/۵ گرم نانواکسید آهن Fe₃O₄ در ۵۰ میلی لیتر اتانول با همزن میله ای به مدت ۲۰ دقیقه در دمای محیط مخلوط شد. سپس، فراورده واکنش با آهنربا جدا و در دمای اتاق خشک شد، در پایان ۳/۹۶ گرم فراورده نهایی به دست آمد.

روش تهیه nano-Fe₃O₄@Sapogenin/Cu(II) ۰/۳۸ گرم از پودر به دست آمده در مرحله پیش را با ۰/۳۸ گرم مس کلرید دو آبه (۱:۱ وزنی/وزنی) در ۵۰ میلی لیتر اتانول به مدت نیم ساعت در دمای محیط مخلوط شدند. پس از پایان واکنش برای به دست آمدن فراورده با بازده زیاد، حلal در دمای محیط تبخیر شد. سپس، ویژگی مغناطیسی

بخش تجربی

مواد شیمیایی و دستگاهها

همه مواد شیمیایی از شرکت مرک خردباری و بدون خالص سازی بیشتر مورد استفاده قرار گرفتند. طیف فروسرخ با دستگاه PERKIN ELMER SPECTRUN RX1 استفاده از قرص KBr در گستره ۴۰۰ cm⁻¹ تا ۴۰۰۰ cm⁻¹ در شرایط محیط ثبت. نقطه ذوب برای همه ترکیب ها با دستگاه الکترووترمال- ۹۲۰۰ اندازه گیری شد. الگوی پراش پرتو ایکس (XRD) نمونه ها با دستگاه فیلیپس با استفاده از تابش Cu/K α با طول موج ۱/۵۴ Å ثبت شد. تجزیه وزن سنجی گرمایی (TGA) نمونه با دستگاه LINSEIS MODEL 1600 PT با سرعت ۵°C درجه سانتیگراد در دقیقه انجام شد. ویژگی مغناطیسی نمونه با مغناطیس سنج نمونه ارتعاشی SAMX مدل MIRA III در دمای اتاق Mira III بررسی شد. میکروسکوپ الکترونی پویشی مدل (HR-TEM) و میکروسکوپ الکترونی عبوری با وضوح بالا (HR-TEM)، ساخت شرکت TEC9G20 آمریکا با ولتاژ 200kV برای ریخت شناسی نمونه استفاده شد. طیف شناسی تفکیک انرژی (EDS) نمونه ها با تجهیزات مربوط که همراه با میکروسکوپ الکترونی پویشی بود، انجام شد. نمونه ها به

1. Quillaja

سال پانزدهم، شماره ۳، پاییز ۱۴۰۰

قرارداده شد. پس از آن رسوب به دست آمده برای خالص سازی با مخلوط ۳ به ۲ اتانول / استون شسته شد.

فراورده مورد بررسی قرار گرفت و برای به دست آمدن فراورده خالص کاتالیست دوبار با اتانول شسته و در دمای محیط خشک شد.

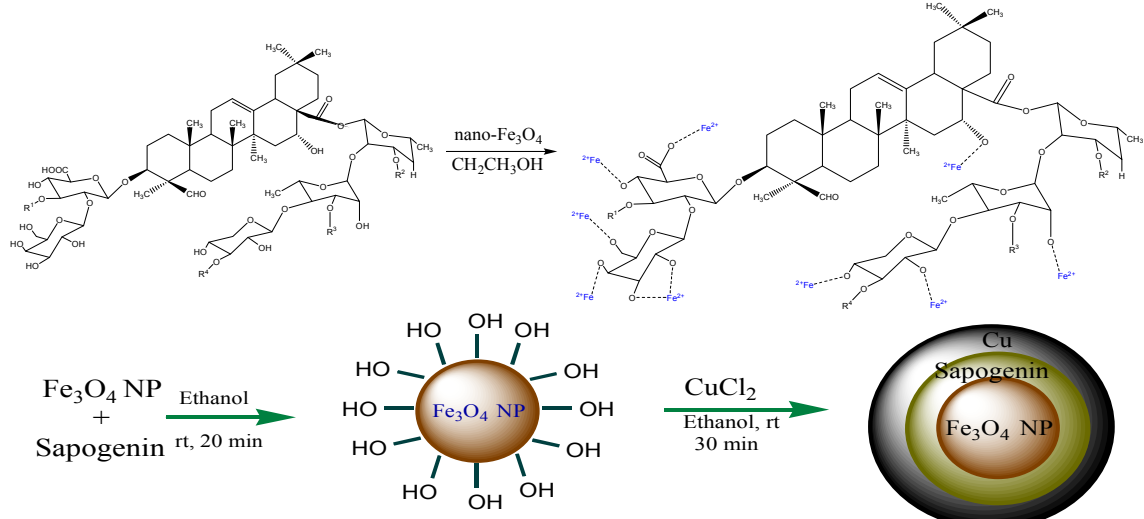
نتیجه ها و بحث

تهیه و شناسایی کاتالیست

کاتالیست nano- Fe_3O_4 @Sapogenin/Cu(II) طی فرایند دو مرحله ای تهیه شد. در مرحله اول Fe_3O_4 با یون های Fe^{3+} و Fe^{2+} تهیه و سپس فراورده مرحله اول با ساپوچنین مخلوط شد. در پایان از ترکیب به دست آمده به عنوان بستری مغناطیسی برای پیوند با مس استفاده شد (شکل ۱).

روش تهیه مشتق های بتا آمینوکتون

۱ میلی مول از کتون با ۱ میلی مول آلدهید و ۱ میلی مول آمین همراه با ۰.۰۸ گرم از کاتالیست nano- Fe_3O_4 @Sapogenin/Cu(II) در ۱۰ میلی لیتر اتانول در دمای اتاق مخلوط شدند. پایان واکنش با TLC بررسی شد. سپس، کاتالیست با آهنربا از مخلوط واکنش جدا و خارج شد و مخلوط واکنش در دمای اتاق تا خشک شدن حلال



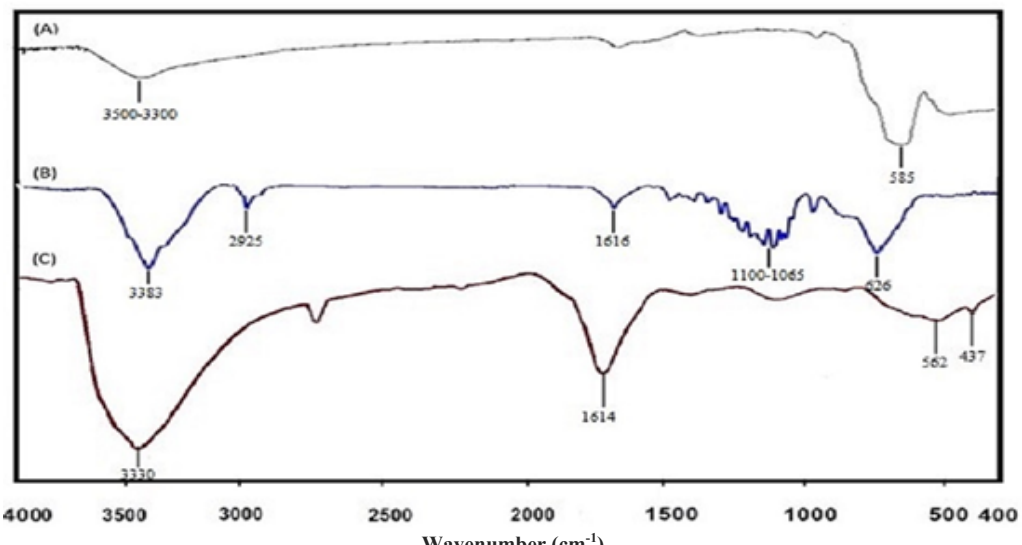
شکل ۲ سازو کار ثبیت مس کلرید بر

همچنین، نوار پهن مشاهده شده در ناحیه ۳۳۰۰ تا cm^{-1} ناشی از ارتعاش های کشنشی گروه OH است. وجود nano ارتعاش کشنشی Fe-O نشان با جذب نانوذره های nano- Fe_3O_4 (b) نشان می دهد که nano- Fe_3O_4 @sapogenin مغناطیسی با ساپوچنین پوشانده شده است. نوار پهن در ناحیه

طیف های FTIR مربوط به nano-nano- Fe_3O_4 و nano- Fe_3O_4 @sapogenin sapogenin/Cu(II) در شکل ۳ ارایه شده اند. پیک های نشان داده شده در طیف FTIR nano- Fe_3O_4 در ناحیه ۵۸۵ cm^{-1} نشان گر وجود ارتعاش کشنشی Fe-O است و

۵۶۲ نشان دهنده ارتعاش کششی Fe-O است و همچنین، نوار موجود در ناحیه 1613 cm^{-1} نشانگر ارتعاش خمثی-H-O است. ارتعاش کششی پیوندهای OH در گستره 3330 cm^{-1} مشاهده شد. در مقایسه با nano- $\text{Fe}_3\text{O}_4@\text{Sapogenin}$ پیوند مس به ساپوجنین موجب انتقال ارتعاش کششی آهن اکسیژن Fe-O از دامنه موج ۵۶۲ cm^{-1} به ۵۶۲ cm^{-1} شده است.

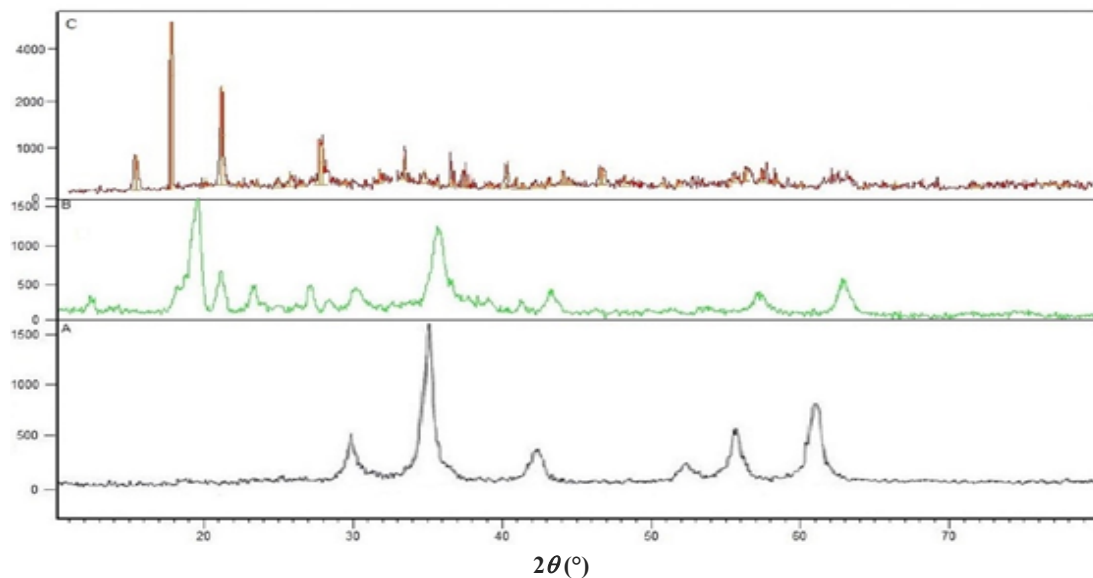
۳۳۸۳ cm^{-1} مربوط به ارتعاش کششی OH است. نوارهای گستره 2925 cm^{-1} بیانگر ارتعاش کششی C-H است و همچنین، پیک ناحیه 1619 cm^{-1} نشان دهنده وجود ارتعاش خمثی H-O-H است. پیک های آشکارشده در گستره 1065 cm^{-1} نشان دهنده پیوندهای C-O است. طیف FTIR nano- $\text{Fe}_3\text{O}_4@\text{Sapogenin/Cu(II)}$ در نوار جذبی ناحیه زیر 500 cm^{-1} نشان دهنده پیوند مس و ساپوجنین O-Cu-O است. پیک مشاهده شده در ناحیه 585 cm^{-1} ایجاد شده است.



شکل ۳ طیف های FTIR مربوط به (C) nano- $\text{Fe}_3\text{O}_4@\text{Sapogenin/Cu(II)}$ و (B) nano- $\text{Fe}_3\text{O}_4@\text{Sapogenin}$ (A) nano- Fe_3O_4

ساختر بلوری آن در طی فرایند پوشش سلولزی آن است و پیک های جدید در ناحیه 2130° ، 195° ، 2130° و 235° و 271° نشان دهنده پیوند ساپوجنین با نانو آهن مغناطیسی است. nano- $\text{Fe}_3\text{O}_4@\text{Sapogenin/Cu(II)}$ XRD ترکیب (B) نشان می دهد که ساختار قبلی آن حفظ شده و پیک های جدید در نواحی 1626° ، 1626° ، 288° ، 327° ، 348° و 488° ، پیوند مس به ساپوجنین را تایید می کند.

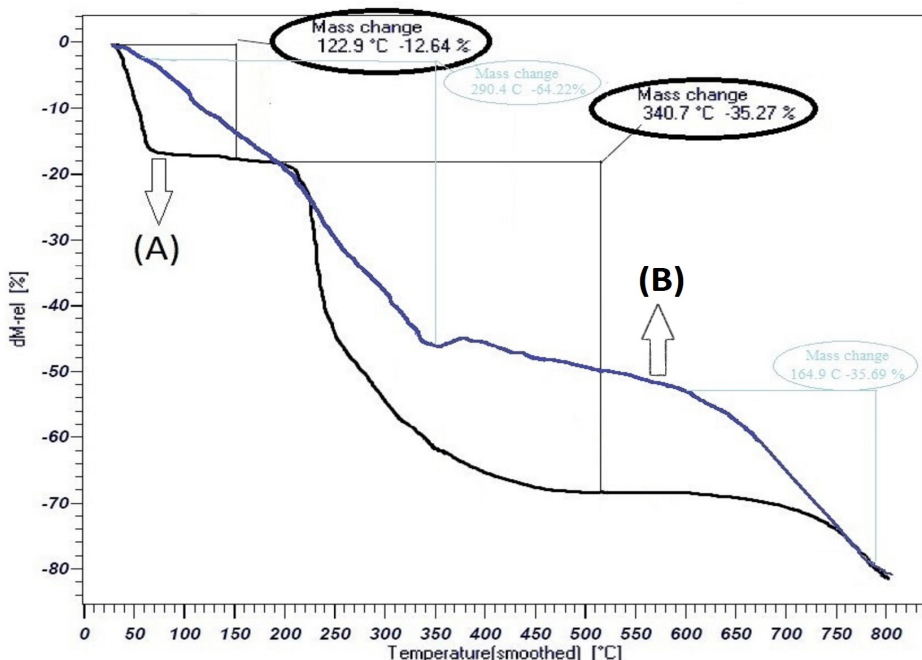
ساختر بلوری nano- $\text{Fe}_3\text{O}_4@\text{sapogenin}$ و nano- $\text{Fe}_3\text{O}_4@\text{Sapogenin/Cu(II)}$ با الگوهای پراش پرتو ایکس مربوط مطالعه شد (شکل ۲). پیک های مشاهده شده مربوط به ترکیب nano- Fe_3O_4 (A) در 2θ برابر با 61.65° ، 52.69° ، 56.36° ، 35.79° ، 42.75° و 30.38° نشان دهنده ساختار خالص و مکعبی نانو آهن مغناطیسی است (شکل ۴). در ساختار nano- $\text{Fe}_3\text{O}_4@\text{sapogenin}$ (B) در همان پیک ها نشان داده شده اند که مشخص کننده حفظ



شکل ۴ الگوهای XRD مربوط به (C) nano-Fe₃O₄@Sapogenin/Cu(II) و (B) nano-Fe₃O₄@Sapogenin، (A) nano-Fe₃O₄

مشاهده شده در گستره ۶۰۰ تا ۸۰۰°C مربوط به فلزهای مانند nano-آهن مغناطیسی است. نمودار TGA مربوط به nano-Fe₃O₄@sapogenin/Cu(II) (شکل ۵) نشان می‌دهد، از دستدادن جرم نمونه شامل دو مرحله است. مرحله اول، در گستره دمایی ۳۷ تا ۳۵۰°C کاهش وزن اصلی در حدود ۶۴٪ است که مربوط به دفع رطوبت و حلال و آب کاتالیست و بعضی از مواد آلی مربوط است. سایر مراحل کاهش وزن، از ۶۰۰ تا ۷۹۲°C که در حدود ۳۶٪ است، مربوط به فلزهای مانند nano-آهن مغناطیسی و مس اکسید است.

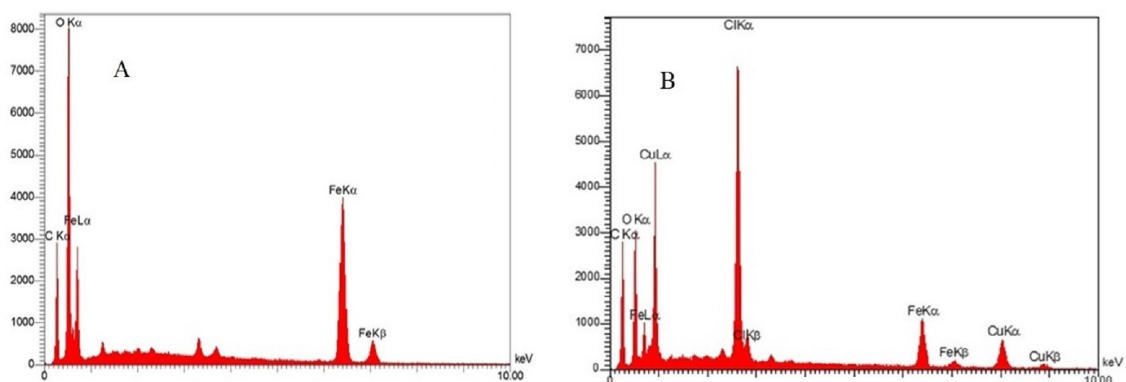
تجزیه وزن سنجی گرمایی (TGA) در گستره دمایی صفر تا ۸۰۰°C انجام شد. شکل A-۵ نمودار وزن سنجی گرمایی مربوط به ماده nano-Fe₃O₄@sapogenin را نشان می‌دهد. همان‌گونه که مشاهده می‌شود، این نمودار از دستدادن جرم نمونه را در ۳ مرحله نشان می‌دهد. کاهش وزن کم (حدود ۱۳٪) از ۲۰°C تا ۱۳۵°C مربوط به حذف رطوبت و حلال کاتالیست است. کاهش وزن اصلی (در حدود ۳۵٪) در گستره ۱۷۰-۶۰°C مربوط به تجزیه بخش‌هایی از ساپوچنین مانند سلوژ و سایر ترکیب‌های آن است و در نهایت کاهش وزن نهایی



شکل ۵ نمودارهای تجزیه وزن سنجی گرمایی (B) nano-Fe₃O₄@Sapogenin/Cu(II) و (A) nano-Fe₃O₄@Sapogenin (TGA)

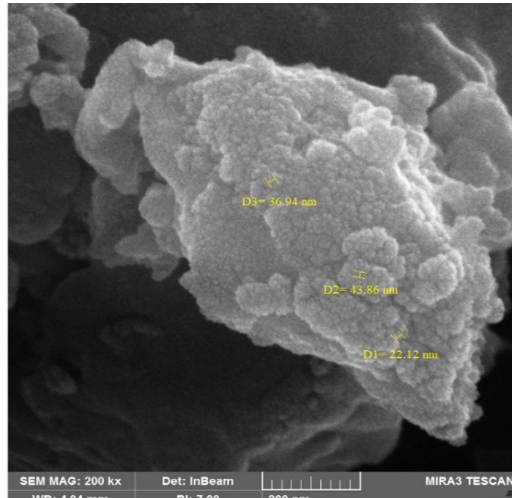
nano-₃O₄@sapogenin/Cu(II) مورد انتظار (C, Fe, Cu, O) در کاتالیست EDS طیف با توجه به طیف مربوط (شکل ۶) تایید شد. بنابراین، نتیجه ها نشان می دهد که کاتالیست به خوبی ساخته شده است.

برای تعیین عناصر نمونه ها، تجزیه و تحلیل عنصری با روش EDS انجام شد (شکل ۶). طیف EDS مربوط به نمونه nano-Fe₃O₄@sapogenin (شکل ۶-A)، بیانگر وجود عناصر C، Fe و O در نمونه است. همچنین، وجود عناصر

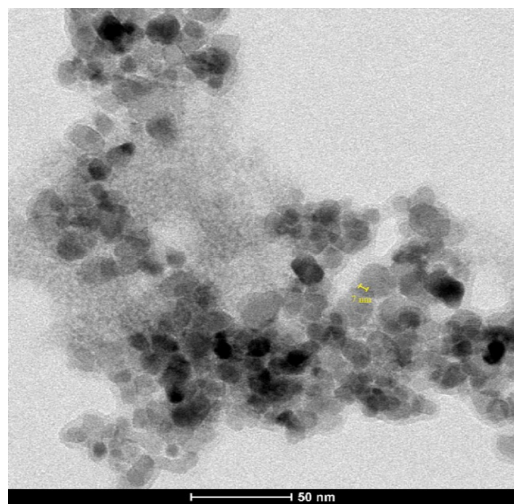


شکل ۶ طیف های EDX نمونه (B) nano-Fe₃O₄@Sapogenin/Cu(II) و کاتالیست (A) nano-Fe₃O₄@Sapogenin

لایه از ساپوجنین اطراف پوسته نانوآهن مغناطیسی شکل گرفته است.

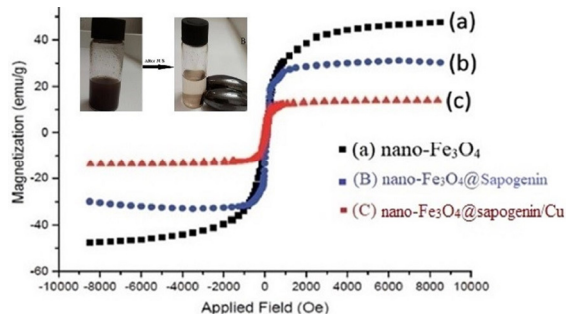


شکل ۸ تصویر میکروسکوپ الکترونی پویشی (SEM)
nano- $\text{Fe}_3\text{O}_4@\text{Sapogenin/Cu(II)}$
کاتالیست



شکل ۹ تصویر میکروسکوپ الکترونی عبوری با قدرت تفکیک بالا
nano- $\text{Fe}_3\text{O}_4@\text{Sapogenin/Cu(II)}$ کاتالیست (HR-TEM)

ویژگی مغناطیسی ترکیب‌های nano- Fe_3O_4 و nano- $\text{Fe}_3\text{O}_4@\text{sapogenin}$ nano- $\text{Fe}_3\text{O}_4@\text{sapogenin/Cu(II)}$ در دمای اتاق با یک مغناطیس سنج ارتعاشی (VSM) مشخص شد که نمودارهای آن‌ها در شکل ۷ نشان‌داده شده است. همه نمونه‌ها رفتار پارامغناطیس را نشان می‌دهند. ویژگی مغناطیسی nano- Fe_3O_4 کمتر از nano- $\text{Fe}_3\text{O}_4@\text{sapogenin/Cu}$ به دلیل وجود پوسته ساپوجنین و مس به عنوان لایه دوتایی در اطراف هسته nano- Fe_3O_4 است.



شکل ۷ نمودارهای VSM مربوط به نمونه‌های nano- Fe_3O_4 و nano- $\text{Fe}_3\text{O}_4@\text{Sapogenin}$ (c) $\text{Fe}_3\text{O}_4@\text{Sapogenin/Cu(II)}$

ریخت‌شناسی ترکیب nano- $\text{Fe}_3\text{O}_4@\text{Sapogenin/Cu(II)}$ با میکروسکوپ الکترونی رویشی (SEM) مورد بررسی قرار گرفت. شکل ۸ نشان می‌دهد که ابعاد دانه‌های بلوری این ترکیب بین ۲۲ تا ۴۴ نانومتر است. تصویر HR-TEM کاتالیست nano- $\text{Fe}_3\text{O}_4@\text{QS/Cu(II)}$ (شکل ۹)، به روشنی نشان می‌دهد که این کاتالیست حفره‌های منظم کروی شکل دارد که دامنه اندازه آن‌ها زیر ۵۰ نانومتر است. این تصویر نشان می‌دهد که پس از ترکیب شدن ساپوجنین با نانوآهن مغناطیسی یک

کمپلکس مس بر nano- $\text{Fe}_3\text{O}_4@\text{Sapogenin}$ نظم و ساختار ماده نانو حفره تهیه شده پایدار بوده است، همچنین، اندازه و قطر حفره ها و سطح و حجم حفره های کاهش یافته که بیانگر ثبیت یون های مس بر نانوهیرید یا بستر nano- عامل دار شده است. فعالیت کاتالیستی nano- $\text{Fe}_3\text{O}_4@\text{sapogenin/Cu(II)}$ برای تهیه مشتق های بتا آمینوکتون از راه واکنش تک ظرفی سه جزی مانیخ بین کتون ها، الدهیدها و آمین ها بررسی شد. در ابتدا واکنش بنزآلدهید با استوفنون و آبیلین به عنوان واکنش نمونه انتخاب شد و عامل های بهینه سازی در این واکنش مورد بررسی قرار گرفت. ابتدا واکنش مدل در حلال های متفاوت و شرایط بدون حلال انجام شد. همان طور که در جدول ۲ نشان داده شده است، اتانول بهترین حلال بین سایر حلال ها برای سه جزی بتا آمینوکتون با استفاده از سه جزء بنزآلدهید، آبیلین و استوفنون، از بازده بیشتری برخوردار است (جدول ۲).

جدول ۲ اثر حلال های متفاوت بر واکنش مدل*

ردیف	حلال	بازده (%)
۱	بدون حلال	۵۵
۲	آب	۵
۳	استون	۲۵
۴	استونیتریل	۶۰
۵	ترهیدروفوران	۶۵
۶	متابول	۷۰
۷	اتانول	۹۲

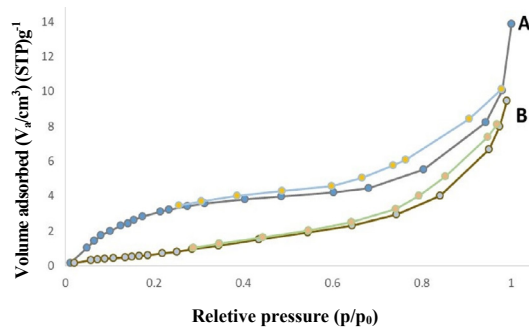
* شرایط واکنش: ۱ میلی مول بنزآلدهید، ۱ میلی مول استوفنون، ۱ میلی مول

آبیلین، ۰.۰۸ گرم کاتالیست nano- $\text{Fe}_3\text{O}_4@\text{sapogenin/Cu(II)}$ ،

۱۰ میلی لیتر حلال در دمای محیط به مدت ۳ ساعت

واکنش مدل در مجاور کاتالیست در حلال اتانول در دمای اتاق و دماهای ۳۵، ۴۵، ۵۵ و ۶۵°C و همچنین، در شرایط بازروانی بررسی شد (جدول ۳). همان طور که از نتیجه ها

شکل ۱۰ نمودار جذب و واجذب نیتروژن برای نانو حفره های nano- $\text{Fe}_3\text{O}_4@\text{Sapogenin}$ و nano- $\text{Fe}_3\text{O}_4@\text{Sapogenin/Cu(II)}$ را نشان می دهد.



شکل ۱۰ نمودار هم دمای جذب و واجذب نیتروژن (BET) کاتالیست nano- $\text{Fe}_3\text{O}_4@\text{Sapogenin}$ (A) و کاتالیست nano- $\text{Fe}_3\text{O}_4@\text{Sapogenin/Cu(II)}$ (B)

حجم کل حفره ها را پس از سیرشدن کل حفره های ماده نانو حفره از گاز نیتروژن محاسبه شد که در این مورد $0.67303 \text{ cm}^3 \cdot \text{g}^{-1}$ به دست آمد (جدول ۱).

جدول ۱ مقایسه ویژگی های ساختاری nano- $\text{Fe}_3\text{O}_4@\text{Sapogenin}$ و nano- $\text{Fe}_3\text{O}_4@\text{Sapogenin/Ni(II)}$ به دست آمده از روش BET

نمونه	مساحت سطح (m²/g)	حجم حفره ها (cm³/g)	میانگین قطر حفره ها (nm)
Nano- $\text{Fe}_3\text{O}_4@\text{Sapogenin}$	۸.۹۳۱۷	۰.۰۶۷۳۰۳	۱.۹۸
Nano- $\text{Fe}_3\text{O}_4@\text{Sapogenin/Cu(II)}$	۳.۱۷۵۱	۰.۰۱۴۳۷۴	۱.۶۳

* به دست آمده با روش BJH

برپایه روش BJH میانگین قطر حفره ها 1.98 nm است. همان طور که قابل مشاهده است پس از nano- $\text{Fe}_3\text{O}_4@\text{Sapogenin}(A)$ عامل دار کردن nano- و واجذب جذب هم دمای Fe₃O₄@Sapogenin/Cu(II) نشان می دهد با قرار گیری

شناخته شده بودند و ساختار آن‌ها با مقایسه نقاط ذوب و داده‌های طیفی با نمونه‌های معتبر مقایسه شدند.

جدول ۴ بهینه‌سازی واکنش مدل^{*} با مقدارهای مختلف نانوکاتالیست

رده‌ی	کاتالیست	زمان (ساعت)	وزن (گرم)	بازده (%)
۱	no catalyst	۱۳	-	-
۲	nano-Fe ₃ O ₄	۸	۰/۱	۴۵
۳	nano-Fe ₃ O ₄ @sapogenin	۷	۰/۰۸	۷۱
۴	nano-Fe ₃ O ₄ @sapogenin/Cu	۷	۰/۰۱	۵۳
۵	nano-Fe ₃ O ₄ @sapogenin/Cu	۷	۰/۰۲	۵۹
۶	nano-Fe ₃ O ₄ @sapogenin/Cu	۷	۰/۰۳	۶۵
۷	nano-Fe ₃ O ₄ @sapogenin/Cu	۶	۰/۰۴	۷۰
۸	nano-Fe ₃ O ₄ @sapogenin/Cu	۶	۰/۰۵	۸۲
۹	nano-Fe ₃ O ₄ @sapogenin/Cu	۵	۰/۰۶	۸۸
۱۰	nano-Fe ₃ O ₄ @sapogenin/Cu	۵	۰/۰۷	۹۰
۱۱	nano-Fe ₃ O ₄ @sapogenin/Cu	۳	۰/۰۸	۹۲
۱۲	nano-Fe ₃ O ₄ @sapogenin/Cu	۳	۰/۰۹	۹۲
۱۳	nano-Fe ₃ O ₄ @sapogenin/Cu	۳	۰/۱	۹۰

* شرایط واکنش: ۱ میلی‌مول بنزالدهید، ۱ میلی‌مول استوفون، ۱ میلی‌مول آنیلین، ۰/۰۸ گرم کاتالیست nano-Fe₃O₄@sapogenin/Cu(II) و ۱۰ میلی‌لیتر حلول

مشخص است بهترین دما برای انجام واکنش مدل، دمای اتاق است.

اثر مقدار کاتالیست nano-Fe₃O₄@sapogenin/Cu(II) بر واکنش مدل بررسی شد (جدول ۴). بهترین نتیجه در مجاور ۰/۰۸ گرم کاتالیست به دست آمد. بنابراین، می‌توان نتیجه گرفت که بهترین حالت برای انجام واکنش استفاده از ۰/۰۸ گرم از کاتالیست در حلول اتانول در دمای اتاق است.

جدول ۳ بهینه‌سازی دما بر واکنش مدل*

ردیف	دما (°C)	زمان (ساعت)	بازده (%)
۱	۳	۳	۹۲
۲	۳۵	۳	۹۲
۳	۴۵	۴	۹۲
۴	۵۵	۴	۹۲
۵	۶۵	۴	۹۰
۶	بازروانی	۳	۹۰

* شرایط واکنش: ۱ میلی‌مول بنزالدهید، ۱ میلی‌مول استوفون، ۱ میلی‌مول آنیلین، ۰/۰۸ گرم کاتالیست nano-Fe₃O₄@sapogenin/Cu(II) و ۱۰ میلی‌لیتر حلول

پس از به دست آوردن شرایط بهینه برای بررسی گسترش دامنه کاربرد کاتالیست با انواع کتون‌ها، آلدهیدها و آمین‌ها، مشتق‌های متنوعی از بتا‌آمینوکتون تهیه شدند که نتیجه‌ها در جدول ۵ گزارش شده است. ترکیب‌های ۳n تا ۳q جدید هستند که ساختار آن‌ها با تجزیه عنصری و داده‌های طیفی بررسی شد. ترکیب‌های دیگر (۳a تا ۳m)

جدول ۵ تهیه مشتق های متفاوت بتاً آمینوکتون^{*} با کاتالیست nano-Fe₃O₄@Sapogenin/Cu(II)

مرجع	نقطه ذوب (°C)	Anti/syn	(%) بازده	زمان (دقیقه)	R ₂	R ₁	كتون	ردیف
[۱۴]	۱۷۰-۱۷۲	۹۹/۱	۹۹	۵۵	H	1-naphthyl	Cyclohexanone	۳a
[۱۵]	۱۲۷-۱۲۸	۹۹/۱	۹۹	۵۵	H	2-naphthyl	Cyclohexanone	۳b
[۱۶]	۱۳۵-۱۳۷	۹۷/۳	۹۴	۶۳	4-CH ₃	1-naphthyl	Cyclohexanone	۳c
[۱۷]	۱۰۹-۱۱۱	۹۸/۲	۹۳	۵۰	H	4-Br	cyclohexanone	۳d
[۱۸]	۱۱۹-۱۲۱	۹۸/۲	۹۵	۴۵	4-CH ₃	4-Cl	Cyclohexanone	۳e
[۱۸]	۱۶۰-۱۶۲	۹۷/۳	۹۱	۷۲	H	3-NO ₂	Cyclohexanone	۳f
-	۱۱۸-۱۲۰	۸۲/۱۸	۹۰	۷۲	H	4-F	Cyclohexanone	۳g
[۱۹]	۱۳۱-۱۳۳	۹۵/۵	۹۹	۵۰	H	H	4-methylcyclohexanone	۳h
[۱۹]	۱۶۸-۱۷۰	۹۹/۱	۹۷	۶۰	H	1-naphthyl	4-methylcyclohexanone	۳i
[۱۹]	۱۷۴-۱۷۶	۹۹/۱	۹۸	۶۰	H	2-naphthyl	4-methylcyclohexanone	۳j
[۱۹]	۱۴۴-۱۴۶	۹۹/۱	۸۵	۶۳	H	2-Cl	4-methylcyclohexanone	۳k
[۲۰]	۱۶۶-۱۶۸	-	۹۲	۱۸۰	H	H	Acetophenone	۳l
[۲۱]	۱۶۱-۱۶۲	-	۹۱	۲۱۰	4-CH ₃	4-OCH ₃	Acetophenone	۳m
(پژوهش حاضر)	۱۷۷-۱۷۹	-	۹۶	۱۸۰	4-Br	H	Acetophenone	۳n
(پژوهش حاضر)	۱۷۱-۱۷۳	-	۹۱	۱۹۰	4-Br	4-Cl	Acetophenone	۳o
(پژوهش حاضر)	۱۷۵-۱۷۷	-	۹۰	۲۰۰	4-Br	4-CH ₃	Acetophenone	۳p
(پژوهش حاضر)	۱۶۳-۱۶۵	-	۸۷	۲۲۰	4-NO ₂	4-CH ₃	Acetophenone	۳q

* شرایط واکشن: ۱ میلی مول بنزآلدید، ۱ میلی مول استوفون، ۱ میلی مول آبیلین، ۰.۰۸ گرم کاتالیست nano-Fe₃O₄@sapogenin/Cu(II)

داده های طیفی

3-(4-Bromo-phenylamino)-1,3-diphenyl-propan-1-one (Table 5, Entry 3n).

Mp: 177-179 °C; IR (KBr, cm⁻¹): 3412, 1676, 1605, 1515, 1312, 858, 767; ¹H NMR (500 MHz, DMSO, δ ppm) 7.98-6.60 (m, 14H), 6.43 (s, br ,1H), 5.10 (d,t, J = 11.2, 7.6 Hz, 1H), 3.58 (d,d, J = 12.5, 7.0 Hz, 1H), 3.50 (d,d, J = 12.5, 7.0 Hz, 1H); ¹³C NMR (δ ppm): 44.5, 55.15, 116.85, 116.93, 126.05, 127.58, 128.4, 128.43, 128.64, 131.89, 133.05, 137.95, 141.58, 146.88, 198.15.

3-(4-Bromo-phenylamino)-3-(4-chloro-phenyl)-1-phenyl-propan-1-one (Table 5, Entry 3o).

Mp: 171-173 °C; IR (KBr, cm⁻¹): 3376, 1681, 1598, 1510, 1301, 750; ¹H NMR (300 MHz, CDCl₃, δ ppm): δ 7.91 (s, 2H), 7.88 (d, J=1.4 Hz, 1H), 7.59 (m, 2H), 7.45 (t, J=7.83 Hz, 2H), 7.37-7.27 (m, 2H), 7.19-7.16 (m, 2H), 6.43-6.4 (m, 2H), 4.92 (t, br, J=6.47, 1H), 4.65 (s, br, 1H), 3.5 (d,d, J15.6, J=5.3 Hz, 1H), 3.46-3.37 (d,d, J=15.6, J=7.12 Hz, 1H); ¹³C NMR (δ ppm): 44.92, 54.18, 109.83, 115.46, 127.73, 128.14, 128.78, 129.05, 131.85, 133.16, 133.67, 136.45, 140.93, 145.69, 197.79.

3-(4-Bromo-phenylamino)-1-phenyl-3-p-tolyl-propan-1-one (Table 5, Entry 3p).

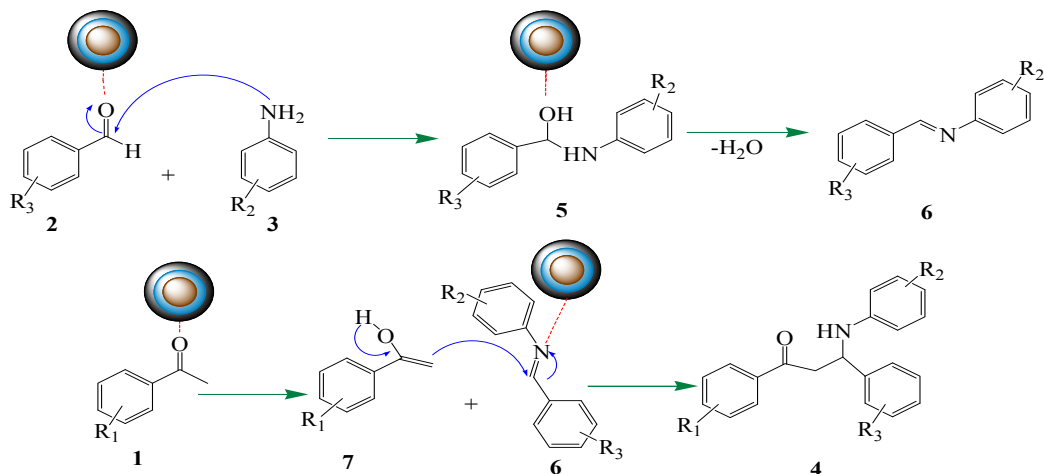
Mp: 175-177 °C; IR (KBr, cm⁻¹): 3395, 1673, 1602, 1513, 1311, 760; ¹H NMR (300 MHz, CDCl₃, δ ppm): 7.94 (s, 2H), 7.62 (t, J=7.27 Hz, 1H), 7.50 (t, J=7.3 Hz, 2H), 7.45 (t, J=7.3 Hz, 2H), 7.3 (d, J=7.9 Hz, 2H), 7.11-7.07 (m, 2H), 6.45-6.41 (m, 3H), 4.9 (d,t, J=11, J=4.7, 1H), 3.6 (d,d, J=17, J=8.8 Hz, 1H), 3.34-3.23 (d,d, J=17, J=4.54 Hz, 1H), 2.23 (s, 3H); ¹³C NMR (δ ppm): 21.01, 46.38, 54.43, 114.04, 120.79, 127.84, 128.15, 128.73, 128.92, 129.02, 129.64, 129.80, 129.84, 134.85, 136.12, 198.48.

3-(4-Nitro-phenylamino)-1-phenyl-3-p-tolyl-propan-1-one (Table 5, Entry 3q).

Mp: 163-165 °C; IR (KBr, cm⁻¹): 3392, 1671, 1600, 1513, 1313, 862, 768; ¹H NMR (300 MHz, CDCl₃, δ ppm): 7.97-7.90 (m, 3H), 7.76 (d, J=7.12 Hz, 1H), 7.63 (t, J=7.25 Hz, 1H), 7.51 (t, 2H), 7.32 (d, J=8 Hz, 2H), 7.12 (d, J=7.9, 2H), 6.58 (d, J=9.22 Hz, 2H), 5.11 (d,t, br, J=11.7, J=1.65 Hz, 1H), 4.35 (s, 1H), 3.71 (d,d, J=17.65, J=9.2 Hz, 1H), 3.38 (d,d, J=18.25, J=6 Hz, 1H), 2.24 (s, 3H); ¹³C NMR (δ ppm): 21.05, 45.55, 53.94, 112.12, 126.56, 127.74, 128.15, 128.36, 128.77, 129.75, 135.24, 137.63, 137.99, 138.23, 152.18, 197.85.

می‌شود و در مرحله بعد حدواتر ۵ با از دستدادن آب به ایمین ۶ تبدیل می‌شود و در مرحله آخر انول ۷ (به دست آمده از توتومری ۱) با ایمین ۶ واکنش می‌دهد و فراورده نهایی ۴ را تولید می‌کند.

سازوکار پیشنهادی برای تهیه بتا‌آمینوکتون‌ها به احتمال شامل فعال شدن اکسیژن کتوئی و آلدھیدی در حضور کاتالیست مغناطیسی در شکل ۱۱ نشان‌داده شده است. ابتدا آلدھید ۲ با آمین ۳ واکنش می‌دهد که منجر به تشکیل حدواتر ۵



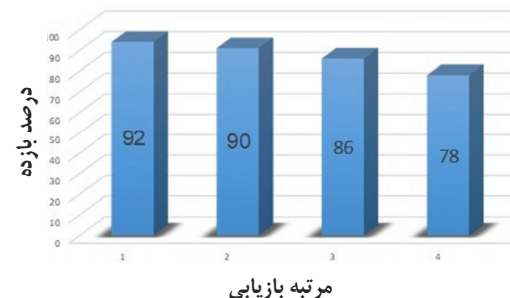
شکل ۱۱ سازوکار پیشنهادی تهیه مشتق‌های بتا‌آمینوکتون در حضور نانوکاتالیست Fe₃O₄@Sapogenin/Cu(II)

جزیی بین استوفنون، بنزالدهید و آنیلین در شرایط بهینه انجام گرفت و پس از انجام واکنش کاتالیست با آهنربا به آسانی جدا شد. کاتالیست جداسده با اتانول ۳ الی ۴ مرتبه

بازیافت کاتالیست و به کارگیری دوباره از آن بازیابی کاتالیست یک عامل بسیار مهم در واکنش‌های کاتالیستی است. بنابراین، در این مرحله واکنش مانیخ سه

آزمون صافش داغ برای بررسی ناهمگن بودن کاتالیست ($nano-Fe_3O_4@sapogenin/Cu(II)$) در بعضی موارد اعتقاد بر این است که فلزهایی که بر سطح نانوذرهها تثبیت می شوند، در دمای بالای واکنش ها، از سطح نانوذره جدا و فلز آزادشده به عنوان عضوفعال کاتالیست موجب انجام واکنش می شود. بنابراین، در این بخش، برای تایید ناهمگن بودن کاتالیست مورد استفاده، آزمون صاف کردن داغ در تهیه استوفون همراء با ۴-کلربنزنالدھید و ۴-برومو آنیلین تحت شرایط بهینه بررسی شد. بدین ترتیب واکنش مذکور در نصف زمان لازم برای کامل شدن ۹۵٪ (دقیقه) متوقف و فراورده با بازده ۵۳٪ تشکیل شد. در مرحله بعد همان واکنش تکرار شد، با این تفاوت که وقتی واکنش حدود ۵۳٪ پیشرفت کرده بود، واکنش متوقف و کاتالیست جدا شد. سپس، اجازه داده شد تا در شرایط بهینه واکنش ادامه یابد. در این شرایط، فراورده با بازده ۵۴٪ به دست آمد. نتیجه های به دست آمده نشان داد که پیشرفت خاصی در واکنش مشاهده نمی شود که تاییدی بر ناهمگن بودن کاتالیست مورد استفاده در واکنش موردنظر است. برای ارزیابی کارایی کاتالیست و روش ارایه شده، این روش با کاتالیست های گزارش شده پیشین در تهیه ترکیب های L3 مقایسه شد (جدول ۶). در مقایسه با نتیجه های نشان داده شده، مشخص شد که نانو کاتالیست مورد استفاده در این پژوهش برای انجام واکنش فراهم می کند (جدول ۶).

شسته و سپس در دمای اتاق خشک شد. پس از آن، کاتالیست بازیابی شده برای واکنش های بعدی استفاده شد. همان طور که در شکل ۱۲ نشان داده شده است، کاتالیست ۴ بار بدون کاهش قابل توجهی در فعالیت کاتالیستی، مورداستفاده دوباره قرار گرفت. سپس، برای به دست آوردن مقدار دقیق مس موجود در کاتالیست از روش پلاسمای جفت شدن القائی استفاده شد. با این روش، مقدار مس موجود در سامانه کاتالیستی برابر با $1/58\text{ mmol g}^{-1}$ در ازای هر گرم بستر پیش از استفاده از کاتالیست به دست آمد، ولی پس از بازیابی کاتالیست، این مقدار به $1/56\text{ mmol g}^{-1}$ رسید که نشان داد کاتالیست با تخریب بسیار جزئی باقی مانده و همچنان قابل استفاده بود.



شکل ۱۲ نمودار اثر بازیافت و به کارگیری چندباره نانو کاتالیست ($nano-Fe_3O_4@sapogenin/Cu(II)$) بر درصد بازده تهیه ترکیب های بتا آمینوکتون

جدول ۶ بررسی و مقایسه کاتالیست‌های متفاوت با کاتالیست nano-Fe₃O₄@Sapogenin/Cu(II) در واکنش بتاآمینوکتون‌ها*

ردیف	کاتالیست	مقدار	دهم (°C)	زمان (ساعت)	درصد بازده	مرجع
۱	BiNO ₃	۱۰ mol%	۲۵	۴	۸۹	[۲۲]
۲	Diaryliodonium(III)	۱۰ mol%	۲۵	۲۴	۸۳	[۲۳]
۳	Saccharose	۱۵ mol%	۲۵	۹	۹۲	[۲۴]
۴	Carbon-based solid acid	۰/۱ g	۲۵	۳:۴۵	۹۰	[۲۵]
۵	H ₃ PW ₁₂ O ₃₀	۰/۶۹۱ g	۲۵	۱۸	۷۶	[۲۶]
۶	CFPIL-1	۰/۰۳۲ g	۲۵	۵	۷۰	[۲۷]
۷	PS-SO ₃ H	۰/۱۸ g	۳۰	۲۴	۷۵	[۲۸]
۸	Al(CH ₃ SO ₃) ₃ .4H ₂ O	۰/۵ mmol	۲۵	۸	۸۶	[۲۹]
۹	[CellFemBen]CSA/EtOH	۱/۶۳ mol %	۲۵	۵	۹۲	[۳۰]
۱۰	Citric acid	۲۰ mol%	۲۵	۱۰	۹۰	[۳۱]
۱۱	nano-Fe ₃ O ₄ @Sapogenin/Cu(II)	۰/۰۸ g	۲۵	۳	۹۲	[پژوهش حاضر]

* شرایط واکنش: ۱ میلی‌مول بنزآلدهید، ۱ میلی‌مول استوفون و ۱ میلی‌مول آنیلین

مغناطیسی کاتالیست و قابلیت استفاده دوباره کاتالیست بدون کاهش قابل توجهی از فعالیت آن اشاره کرد.

سپاسگزاری
نویسنده‌گان این پژوهش از حمایت‌های دانشگاه آزاد اسلامی واحد اهواز سپاسگزارند.

نتیجه‌گیری

در این پژوهش، یک روش موثر و کارآمد برای تهیه مشتق‌های بتاآمینوکتون از راه یک واکنش سه جزئی بین آمین‌ها، آلدهیدها و کتون‌ها در دمای اتاق در حلال اتانول در حضور نانوزبست کاتالیست Fe₃O₄@sapogenin/Cu(II) گزارش شد. از مهم‌ترین مزیایی روش حاضر می‌توان به زمان کوتاه واکنش، بازده خوب واکنش، قابلیت جداسازی

مراجع

- [1] Lim, C.W.; Lee, I.S.; Nano Today 5, 412-434, 2010.
- [2] Ma, C.; Shao, H.; Zhan, S.; Hou, P.; Zhang, X.; Chai, Y.; Liu, H.; Composite Interfaces 26, 537-549, 2019.
- [3] Ghanbarnezhad, S.; Nemati, A.; Baghshahi, S.; Mahmoudi, M.; Journal of Applied Research in Chemistry 12(4), 105-112, 2019.
- [4] Ghorbani, N.F.; Eskandari, H.R.; Ebrahimi, D.; Journal of Applied Research in Chemistry 12(1), 71-82, 2018.
- [5] Hashemi, S.A.; Taheri, A.; Mansouri, K.; Journal of Applied Research in Chemistry 10(4), 59-70, 2017.
- [6] Ghorbani, C.A.; Shiri, L.; Tahmasebi, B.; Ghasemi, B.; Saeidipour, E.; Journal of Applied Research in Chemistry 9(4), 31-40, 2016.
- [7] Poursaberi, T.; Hasanisadi, M.; Rezapour, M.; Tourkestani, S.K. Journal of Applied Research in Chemistry 6(1), 5-14, 2012.

- [8] Aghdam, S.K.-Y.; Moslemizadeh, A.; Madani, M.; Ghasemi, M.; Shahbazi, K.; Moraveji, M.K.; Chemical Engineering Research and Design 147, 570-578, 2019.
- [9] Moslemizadeh, A.; Aghdam, S.K.-Y.; Shahbazi, K.; Zendehboudi, S.; Journal of Molecular Liquids 247, 269-280, 2017.
- [10] Kazemi, E.; Karimijaberi, Z.; Soltanianfard, M.J.; Journal of Applied Research in Chemistry 9(3), 17-24, 2015.
- [11] Hutchinson, I.; Chua, M.-S.; Browne, H.L.; Trapani, V.; Bradshaw, T.D.; Westwell, A.D.; Stevens, M.F.; Journal of medicinal chemistry 44, 1446-1455, 2001.
- [12] Dezfoolinezhad, E.; Ghodrati, K.; Badri, R.; New Journal of Chemistry 40, 4575-4587, 2016.
- [13] Kakesh, N.; Sayyahi, S.; Badri, R.; Comptes Rendus Chimie 21, 1023-1028, 2018.
- [14] Bigdeli, M.A.; Heravi, M.M.; Nemati, F.; Mahdavinia, G.H.; Arkivoc 13, 243-248, 2008.
- [15] Saadatjoo, N.; Golshekan, M.; Shariati, S.; Azizi, P.; Nemati, F.; Arabian Journal of Chemistry 10, S735-S741, 2017.
- [16] Bigdeli, M.A.; Nemati, F.; Mahdavinia, G.H.; Tetrahedron Letters 48, 6801-6804, 2007.
- [17] Khoshnavazi, R.; Bahrami, L.; Havasi, F.; Naseri, E.; RSC Advances 7, 11510-11521, 2017.
- [18] Kooti, M.; Kooshki, F.; Nasiri, E.; Sedeh, A.N.; Journal of the Iranian Chemical Society. 15, 943-953, 2018.
- [19] El-Gohary, N.; Open Access Library Journal 1, 1-47, 2014.
- [20] Mansoori, A.; Eshghi, H.; Lari, J.; Journal of the Chinese Chemical Society 65, 548-553, 2018.
- [21] Dong, F.; Jun, L.; Xin-Li, Z.; Zu-Liang, L.; Catalysis letters 116, 76-80, 2007.
- [22] Mansoor, S.S.; Aswin, K.; Logaiya, K.; Sudhan, S.P.N.; Journal of Saudi Chemical Society 19, 379-386, 2015.
- [23] Zhang, Y.; Han, J.; Liu, Z.-J.; RSC Advances 5, 25485-25488, 2015.
- [24] Mousavi, M.R.; Hazeri, N.; Maghsoodlou, M.T.; Salahi, S.; Habibi-Khorassani, S.M.; Chinese Chemical Letters 24, 411-414, 2013.
- [25] Emrani, A.; Davoodnia, A.; Tavakoli-Hoseini, N.; Bulletin of the Korean Chemical Society 32, 2385-2390, 2011.
- [26] Azizi, N.; Torkiyan, L.; Saidi, M.R.; Organic Letters 8, 2079-2082, 2006.
- [27] Khiratkar, A.G.; Balinge, K.R.; Bhansali, K.J.; Bhagat, P.R.; Research on Chemical Intermediates 44, 787-798, 2018.
- [28] Iimura, S.; Nobutou, D.; Manabe, K.; Kobayashi, S.; Chemical Communications 14, 1644-1645, 2003.
- [29] Wang, M.; Song, Z.-G.; Jiang, H.; Organic Preparations and Procedures International 41, 315-321, 2009.
- [30] Khanapure, S.; Jagadale, M.; Kale, D.; Gajare, S.; Rashinkar, G.; Australian Journal of Chemistry 72, 513-523, 2019.
- [31] Ningdale, V.B.; Chaudhar, U.N.; Shaikh, K.A.; IOSR J. Appl. Chem. 7, 86-89, 201

β -aminoketones derivatives synthesis by reusable catalyst of copper coated Fe₃O₄@Sapogenin

**Majid Heidarpour¹, Hossein Anaraki-Ardakani^{2,*}, Neda Hasanzadeh³,
Aye Rayatzadeh⁴**

1. PhD Student in Organic Chemistry, Department of Chemistry, Ahvaz Branch, Islamic Azad University, Ahvaz, Iran.
2. Assistant Prof. of Organic Chemistry, Department of Chemistry, Mahshahr Branch, Islamic Azad University, Mahshahr, Iran.
2. Assistant Prof. of Organic Chemistry, Department of Chemistry, Ahvaz Branch, Islamic Azad University, Ahvaz, Iran.
2. Assistant Prof. of Organic Chemistry, Department of Chemistry, Ahvaz Branch, Islamic Azad University, Ahvaz, Iran.

Abstract: In this research, a new magnetic core–shell nanocomposite Fe₃O₄@Sapogenin/Cu(II) based on quillaja sapogenin was prepared and the structure, magnetic features, and morphology of magnetic nanoparticles (MNPs) Fe₃O₄@Sapogenin/Cu(II) were studied with energy-dispersive X-ray spectroscopy (EDS), thermogravimetric analysis (TGA), Fourier transform infrared (FT-IR) spectroscopy, X-ray diffraction (XRD), high-resolution transmission electron microscopy (HR-TEM), Brunauer–Emmett–Teller (BET) method, Vibrating sample magnetometer (VSM), scanning electron microscopy (SEM), and inductively coupled plasma (ICP). The achievements demonstrated that the proposed agents were beneficial to synthesis the derivatives of β -aminoketone via a one-pot three-component reaction of ketones, aromatic aldehydes, and aromatic amines in ethanol under environmentally friendly conditions. The advantage of this reaction is the high efficiency of the products and the short reaction time. Furthermore, Fe₃O₄@Sapogenin/Cu(II) nanocatalyst can be easily recovered magnetically and can be reused for several runs without any reduction in the activity. In addition, with the use of this catalyst, several novel products were obtained for the first time.

Keyword: Green chemistry, Three-component reaction, *Quillaja sapogenin*, β -aminoketones, Copper (II) chloride